



ANÁLISE DE FREQUÊNCIA DE VAZÕES MÁXIMAS E A
DEFINIÇÃO DAS COTAS PARA INSTALAÇÃO DE
EQUIPAMENTOS AUTOMÁTICOS NA
REDE HIDROMETEOROLÓGICA NACIONAL DE REFERÊNCIA (RHNR)

Rio: Piranhas-Açu Estação Fluviométrica: Jucurutu

Código: 37604000 Município: Jucurutu-RN

Recife 2025

MINISTÉRIO DE MINAS E ENERGIA SECRETARIA DE GEOLOGIA, MINERAÇÃO E TRANSFORMAÇÃO MINERAL SERVIÇO GEOLÓGICO DO BRASIL

DIRETORIA DE HIDROLOGIA E GESTÃO TERRITORIAL

PROGRAMA GESTÃO DE RISCOS E DE DESASTRES

Ação Levantamentos, Estudos, Previsão e

Alerta de Eventos Hidrológicos Críticos

PROJETO DE REGIONALIZAÇÃO DE VAZÕES NAS BACIAS HIDROGRÁFICAS BRASILEIRAS

ANÁLISE DE FREQUÊNCIA DE VAZÕES MÁXIMAS E A DEFINIÇÃO

DAS COTAS PARA INSTALAÇÃO DE EQUIPAMENTOS

AUTOMÁTICOS NA REDE HIDROMETEOROLÓGICA NACIONAL DE

REFERÊNCIA (RHNR)

Rio: Piranhas-Açu

Estação Fluviométrica: Jucurutu

Código: 37604000

Município: Jucurutu - RN

Múcio Valença Virães Eber José de Andrade Pinto



Recife

2025

MINISTÉRIO DE MINAS E ENERGIA

MINISTRO DE ESTADO

Alexandre Silveira de Oliveira

SECRETARIA NACIONAL DE GEOLOGIA, MINERAÇÃO E TRANSFORMAÇÃO MINERAL

Ana Paula Bitencourt

SERVICO GEOLÓGICO DO BRASIL - SGB

DIRETORIA EXECUTIVA

Diretor Presidente

Sabrina Soares de Araújo Gois (interina)

Diretor de Hidrologia e Gestão Territorial

Alice Silva de Castilho

Diretor de Geologia e Recursos Minerais

Francisco Valdir Silveira

Diretor de Infraestrutura Geocientífica

Sabrina Soares de Araújo Gois

Diretor de Administração e Finanças

Sabrina Soares de Araújo Gois (interina)

COORDENAÇÃO TÉCNICA

Chefe do Departamento de Hidrologia

Andrea de Oliveira Germano

Chefe da Divisão de Hidrologia Aplicada

Emanuel Duarte Silva

Achiles Monteiro (in memoriam)

Chefe do Departamento de Gestão Territorial

Diogo Rodrigues Andrade da Silva

Chefe da Divisão de Geologia Aplicada

Tiago Antonelli

Coordenação Executiva do DEHID - Projeto Regionalização de Vazões

Eber José de Andrade Pinto

SUPERINTENDÊNCIA REGIONAL DE RECIFE

Superintendente

Hortência Maria Barboza de Assis

Gerente de Hidrologia e Gestão Territorial

Robson de Carlo da Silva

Gerente de Geologia e Recursos Minerais

Felipe José da Cruz Lima

Gerente de Infraestrutura Geocientífica

Douglas Silva Luna

Gerente de Administração e Finanças

Omar Jose Evangelista de Barros

REALIZAÇÃO

Superintendência de Recife

AUTORES

Múcio Valença Virães Eber José de Andrade Pinto

EQUIPE EXECUTORA

Denise Christina de Rezende Melo – SUREG/GO Francisco Fernando Noronha Marcuzzo – SUREG/PA Múcio Valença Virães – SUREG/RE Paula Kristhina Cordeiro Freire – REFO

SISTEMA DE INFORMAÇÕES GEOGRÁFICAS E MAPA

Janaína Marise França de Araújo -SUREG/RE

NORMALIZAÇÃO BIBLIOGRÁFICA

Nelma Fabrícia da P. Ribeiro Botelho - SUREG/RE

Ficha Catalográfica Dados Internacionais de Catalogação-na-Publicação (CIP)

V813p Virães, Múcio Valença.

Projeto de regionalização de vazões nas bacias hidrográficas brasileiras: análise de frequência de vazões máximas e a definição das cotas para instalação de equipamentos automáticos na Rede Hidrometeorológica Nacional de Referência (RHNR): rio: piranhas-Açu, estação fluviométrica: Jucurutu, código: 37604000, município: Jucurutu-RN / Múcio Valença Virães, Eber José de Andrade Pinto. — Recife: Serviço Geológico do Brasil, 2025.

1 recurso eletrônico: PDF

Programa Gestão de Riscos e de Desastres. Ação levantamentos, estudos, previsão e alerta de eventos

ISBN 978-65-5664-464-3

hidrológicos críticos.

1. Hidrologia. 2. Vazões naturais. 3. Bacias hidrográficas. I. Pinto, Eber José de Andrade Pinto. II. Título.

CDD 551.48

Ficha catalográfica elaborada pela bibliotecária Nelma Botelho CRB-4 2341

Direitos desta edição: Serviço Geológico do Brasil – SGB Permitida a reprodução desta publicação desde que mencionada a fonte

Serviço Geológico do Brasil - SGB <u>www.sgb.gov.br</u> <u>https://rigeo.sgb.gov.br</u> <u>seus@sgb.gov.br</u>

APRESENTAÇÃO

O projeto Regionalização de Vazões nas Bacias Hidrográficas Brasileiras é uma iniciativa dentro do programa de Gestão de Riscos e Resposta a Desastres que tem por objetivo ampliar o conhecimento sobre a disponibilidade hídrica no território nacional, bem como, sobre a frequência de ocorrência das vazões e/ou das cotas.

O conhecimento da disponibilidade de água doce de uma bacia hidrográfica é o principal instrumento de gestão de recursos hídricos, com base no qual pode ser concedido de forma adequada e sustentável o direito de uso deste bem, seja para fins energéticos, de irrigação, de abastecimento e outros. Além disto, o conhecimento da frequência é uma informação útil para o planejamento nos setores elétrico, agrícola, abastecimento público e na adoção de políticas públicas.

Dentre os objetivos da ação dos Levantamentos, Estudos, Previsão e Alerta de Eventos Hidrológicos Críticos, destaca-se a realização de estudos de análise de frequência local das séries históricas de vazões máximas ou cotas máximas das estações fluviométricas.

A análise de frequência possibilita a determinação das vazões máximas ou cotas máximas associadas a uma probabilidade de ser igualda ou superada. Os resultados da análise, ou seja, os quantis, serão utilizados como valores de projeto no dimensionamento de diversas estruturas hidráulicas ou de aproveitamento dos recursos hídricos. Esta análise estatística também pode ser utilizada de forma inversa, ou seja, estimar a frequência de um evento de cheia ocorrido, definindo se o evento foi raro ou ordinário. Tipo de informação que é bastante útil para sistemas de alerta de cheias que poderão divulgar, além das previsões e dos valores observados, a raridade do evento acompanhado.

Este estudo apresenta os resultados da análise de frequência das vazões máximas observadas e a recomendação de cotas (níveis) para instalação de equipamentos automáticos no rio Piranhas-Açu especificamente na estação fluviométrica Jucurutu, código 37604000. Esta estação fluviométrica faz parte Rede Hidrometeorológica Nacional de Referência (RHNR) e constitui um ponto de acompanhamento das vazões e cotas nesta região, no Estado do Rio Grande do Norte.

SUMÁRIO

1 INTRODUÇÃO	06
2 METODOLOGIA	11
2.1 Análise de Frequência Local	11
2.2 Definição das Cotas para Instalação de Equipamentos Automáticos na Rede Hidrometeorológica Nacional de Referência	13
3 RESULTADOS	17
3.1 Análise de Frequência Local	17
3.2 Definição das Cotas para Instalação de Equipamentos Automáticos na Rede Hidrometeorológica Nacional de Referência	18
•	21
REFERÊNCIAS	23
ANEXO I – Ficha Descritiva da Estação Fluviométrica	25
ANEXO II – Distribuições de Gumbel e Log-normal	29
ANEXO III – Dados utilizados, curvas chave e as estatísticas	32
LISTA DE FIGURAS	
Figura 01 – Localização das estações fluviométricas da RHNR	07 08 10 17 20
LISTA DE TABELAS	
Tabela 01 – Objetivos Gerais da RHNR Tabela 02 – Riscos Hidrológicos. Tabela 03 – Probabilidade de não ocorrer ao menos um evento igual ou superior a cheia de T anos em <i>n</i> anos de vida útil.	13 15 15
Tabela 04 – Critérios para instalação dos equipamentos da RHNR	16
Tabela 05 – Vazões associadas a diferentes tempos de retorno	18
Tabela 06 – Cotas para instalação dos equipamentos da estação fluviométrica	19

1 - INTRODUÇÃO

O estudo das águas superficiais é fundamental para adequada gestão dos recursos hídricos. Para que isto ocorra se faz necessário a implantação de uma rede de monitoramento hidrológico que seja eficiente e capaz de fornecer informações necessárias aos usos múltiplos das águas fluviais.

Conforme Maranhão e Pereira (2017), as primeiras iniciativas institucionais do estabelecimento da Rede Hidrometeorológica Nacional – RHN, início do século XX, ocorrem através do Departamento Nacional de Obras Contra as Secas (DNOCS) e do Instituto Nacional de Meteorologia (INMET) instalando as primeiras estações no Brasil. Em 1934 o Departamento Nacional de Produção Mineral (DNPM) estende a atuação hidrológica pelo pais. Em 1960 é criado o Departamento Nacional de Águas e Energia (DNAE) que recebe, entre suas atribuições, as atividades de hidrologia nacional. Porém em 1969, com novas competências relacionadas ao setor elétrico, passa a se chamar Departamento Nacional de Águas e Energia Elétrica (DNAEE). Também neste ano surge a Companhia de Pesquisa de Recursos Minerais (CPRM), através do Decreto-Lei nº 764, de 15 de agosto de 1969, absorvendo a atividade de manutenção e operação da RHN sob responsabilidade do DNAEE. Em 28 de dezembro de 1994, pela Lei nº 8.970, a CPRM passa a ser uma empresa pública, com funções de Serviço Geológico do Brasil (SGB).

Assim nasce a parceria entre a Agência Nacional de Águas (ANA), criada através da Lei nº 9.984/2000, art.4, inciso 13, e o Serviço Geológico do Brasil (SGB/CPRM), principal parceiro no planejamento, gerenciamento e operação da RHN – Rede Hidrometeorológica Nacional, através do Acordo de Cooperação Técnica – ACT nº 003/2014, com o intuito de revitalizar a capacitação técnica dos profissionais envolvidos e revisar a rede de monitoramento existente no Brasil.

Em agosto de 2015, ANA e SGB/CPRM firmaram um Memorando de Entendimento com o Serviço Geológico dos Estados Unidos (USGS, *United States Geological Survey*) dedicado à capacitação técnica dos seus profissionais. E a partir deste evento, foi definido pelos especialistas envolvidos a revisão da rede existente, construindo uma Rede Hidrometeorológica Nacional de Referência – RHNR para atender com excelência as demandas da gestão de recursos hídricos brasileira, promovendo dados confiáveis e representativos. Esta rede deverá atender os interesses da União a partir de 06 objetivos gerais: Transferência e compartilhamento Interestaduais e Internacionais, eventos hidrológicos críticos, balanços e disponibilidades hídricas, mudanças e tendências de longo prazo, qualidade da água e regulação dos recursos hídricos.

A localização das 33 estações fluviométricas que compunham a RHNR em 2022 sob a responsabilidade da Superintendência Regional do Recife (SUREG-RE) está apresentada na Figura 01.

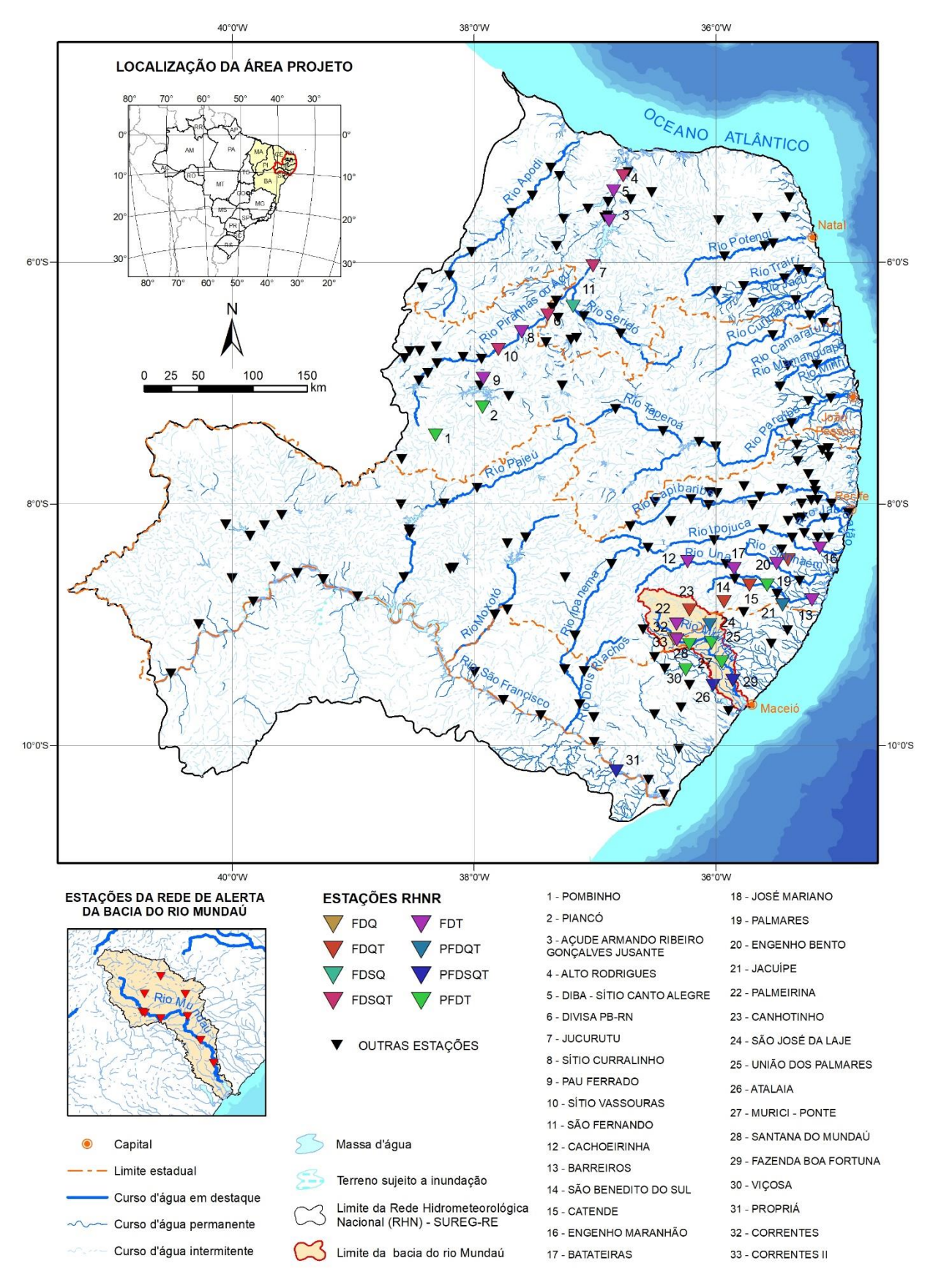


Figura 01 – Localização das estações fluviométricas da RHNR em 2022. Fonte: elaborado pela equipe do projeto.

A estação de Jucurutu, código 37604000, está localizada na Latitude 06°04'05"S e Longitude 37°03'26"O, no rio Piranhas-Açu e possui uma área de drenagem de 34.300 km². O rio Piranhas-Açu nasce no Município de Bonito de Santa Fé, Estado da Paraíba, nas proximidades da Serra da Mata Fresca, numa altitude aproximada de 600,0 m. Seus principais afluentes são os rios Piancó e Seridó, pela margem direita, e o rio Peixe, pela margem esquerda. A estação fluviométrica está instalada na margem direita do rio, cerca de 15,0 metros à jusante da sua seção de medição. Pl na margem esquerda e PF na margem direita, distanciados entre si em 350,00 m. A Figura 02 ilustra a localização da estação de Jucurutu.

Desde outubro de 2009 existem réguas linimétricas instaladas para realização de duas leituras diárias pelo observador dos níveis do rio Piranhas-Açu, as 07 e as 17 h.

Nesta estação, desde outubro de 2009, estão instalados equipamentos automáticos para registro contínuo e transmissão dos níveis do rio Piranhas-Açu.

Ao longo do histórico da estação não houve mudança da cota do zero da régua, ou seja, não foram acrescidos 100 cm ou outro valor as cotas da estação. Maiores detalhes sobre a estação podem ser encontrados na sua ficha descritiva que consta do Anexo 01.

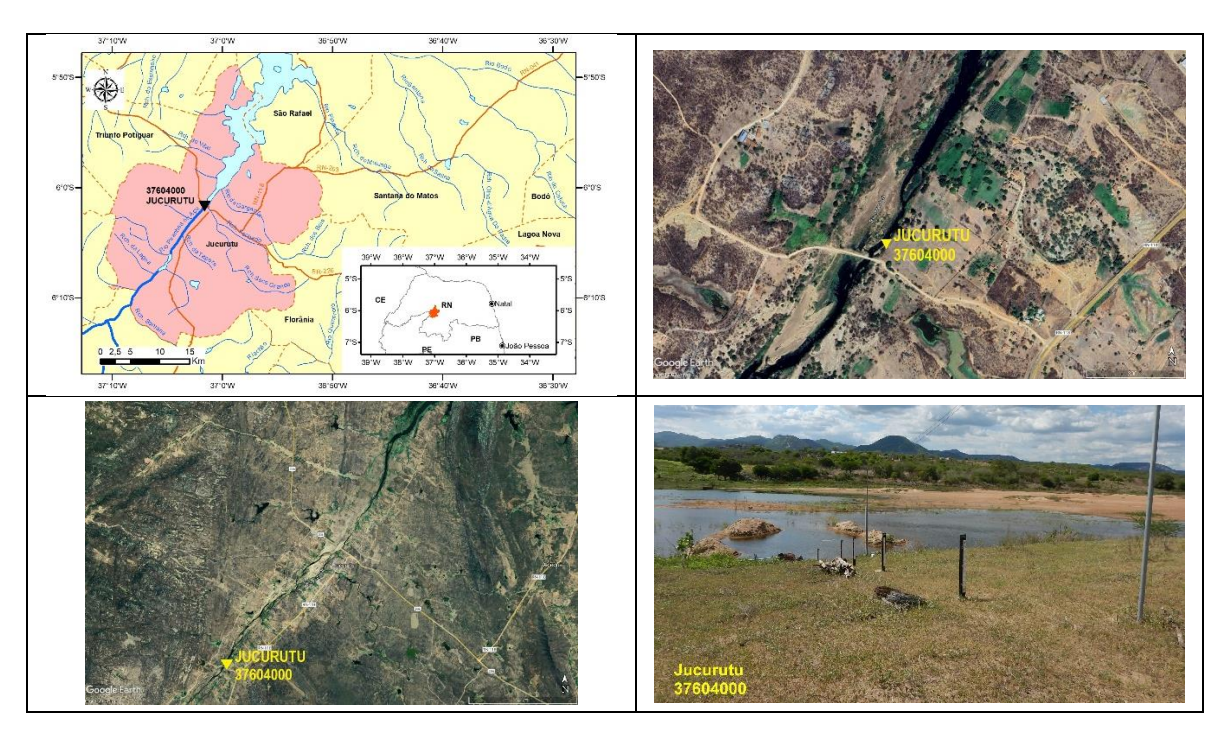


Figura 02 – Localização da estação fluviométrica de Jucurutu. Fonte: Equipe do projeto, Google Earth (2025) e arquivo fotográfico do Projeto da RHN.

A Figura 03 apresenta o perfil da seção transversal na seção de réguas da estação. Esta figura apresenta as medições simultâneas de vazões e cotas realizadas

entre fevereiro/2011 e agosto/2022 e a máxima cota observada na série de cotas máximas anuais (638 cm 15/04/2018).

A diferença entre a máxima cota observada nas réguas, 638 cm, e a máxima cota com vazão medida (59,1 m³/s na cota 353 cm) é de 2856 cm. No Anexo III observa-se que a série de cotas máximas por ano civil apresenta 11 valores máximos, sendo todos superiores a 353 cm (cota da vazão máxima medida). A razão entre a cota máxima observada e a cota máxima com medição de vazão é 1,81 (638 cm / 353 cm). Segundo Tucci (2002), a melhor curva-chave, aquela com menor extrapolação do ramo superior, possui a razão entre as cotas máximas observadas e com medição de vazão inferior a 1,25. Na Figura 03 também se observa baixa densidade de medições de vazões acima de 3,62 m³/s. A seção de medição está localizada próxima à seção de réguas, como está apresentado na ficha descritiva da estação no Anexo I. A estação apresenta área de drenagem de 34.300 km².

As características mencionadas no parágrafo anterior criam dificuldades a extrapolação do ramo superior da curva-chave e ampliam a incerteza na estimativa das vazões a partir das cotas superiores a 353 cm. Todavia, é necessário mencionar que as medições de vazões em cotas altas envolvem riscos à segurança dos técnicos que podem inviabilizar a realização do trabalho e, além disso, a frequência de ocorrência de grandes cheias pode ser baixa.

A análise de frequência foi realizada com a série de vazões máximas por ano hidrológico, pois as estações da RHNR podem sofrer deslocamentos para uma outra posição posteriormente. A reinstalação de réguas em outra seção, afastada do original, pode modificar a relação entre cota e vazão no ramo superior, afetando a análise de frequência de cotas máximas.

No entanto é importante frisar que tais modificações não afetarão a análise de frequência de vazões deste estudo, se estas alterações não gerarem significativos incrementos ou decréscimos na área de drenagem da estação associadas a grandes variações de vazões para um mesmo evento hidrológico, ou ainda outras modificações impactantes nas condições hidrológicas atual da estação. Nestes casos de modificações significativas se tratará de uma nova estação, o que demandará uma nova série histórica para um novo estudo de análise de frequência de máximas.

37604000 - JUCURUTU em JUCURUTU - RN Seção Transversal - Seção de Réguas

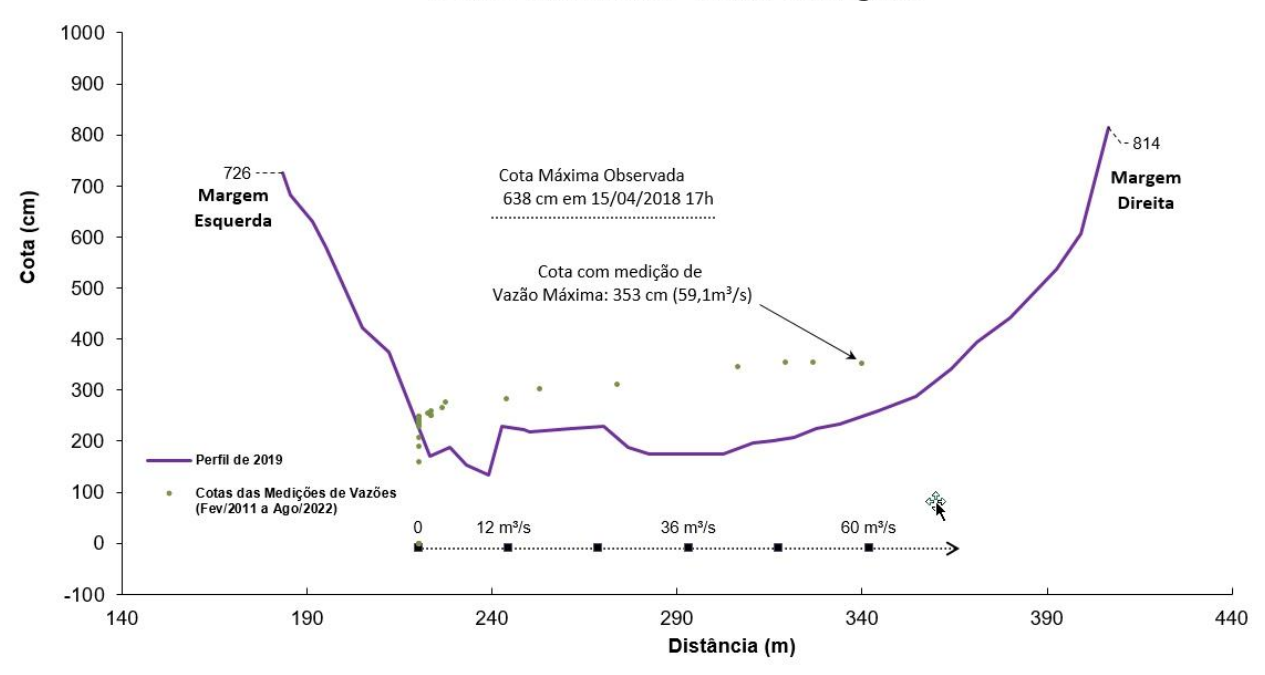


Figura 03 – Perfil da seção transversal da seção de réguas de Jucurutu. Fonte: elaborado pelos autores.

2 - METODOLOGIA

2.1 - Análise de Frequência Local

A análise estatística deve ser realizada utilizando séries históricas representativas do processo analisado, sem a presença de erros acidentais ou sistemáticos e possuindo um número mínimo de elementos para garantir uma boa confiabilidade nas extrapolações. É recomendável o emprego de séries com pelo menos 30 anos hidrológicos ou civil e aceitável no mínimo 15 anos hidrológicos ou civil.

Considerando Pinto (2013) e Naghettini e Pinto (2007), foram definidas as seguintes etapas para análise de frequência local de máximos por ano hidrológico ou civil:

 Avaliar a consistência dos dados e organizar a série de cotas ou vazões máximas por ano hidrológico ou civil.

Na etapa de consistência procura-se identificar problemas com os registros de cotas ou vazões que poderiam desacreditar as informações. Para tanto podem ser realizados métodos consagrados no meio técnico, como por exemplo, verificar se há mudança do zero da régua (mudança de referência); verificar a presença de erro de metro nas cotas; verificar a presença de erro de 1/2 metro nas cotas; verificar a presença de erro de digitação; comparar a cota máxima com a cota média diária; avaliar o comportamento dos cotagramas das estações de montante e jusante; verificar as cotas máximas da série disponível nos bancos de dados com os boletins de campo; avaliar os dados que estão como duvidosos ou estimados; avaliar o preenchimento de falhas (média, linígrafo e PCD); verificar as medições de vazões; analisar as curvas-chaves; verificar a continuidades das vazões etc.

Verificar a presença de valores atípicos (outliers)

A presença de valores atípicos (superiores e inferiores) é avaliada com o critério baseado na amplitude interquartil, AIQ (Naghettini; Pinto, 2007, p. 39), e com o teste de Grubbs e Beck (Naghettini; Pinto, 2007, p. 287). O valor atípico pode ter origem em erros de medição ou de processamento, mas, também pode ser o produto de causas naturais indeterminadas. Se for identificado que o valor atípico é inconsistente, este deve ser excluído da amostra. Em caso de presença de *outliers* realmente observados deve-se avaliar a manutenção ou retirada destes pontos amostrais atípicos. Pois, a presença de pontos atípicos em uma dada amostra, pode afetar drasticamente o ajuste da distribuição de probabilidades.

Avaliar a independência, a homogeneidade e a estacionariedade das séries.

A independência dos valores de uma série significa que nenhuma observação pode influenciar a ocorrência, ou não ocorrência, da observação seguinte. No projeto de Regionalização de Vazões do Brasil a hipótese de independência é avaliada com o teste não paramétrico proposto por Wald e Wolfowitz (1943). A descrição detalhada deste teste é encontrada em Naghettini e Pinto (2007, p. 264).

Uma amostra é considerada homogênea quando todos os elementos provêm de uma única e idêntica população. A recomendação é avaliar a homogeneidade da série por meio do teste não-paramétrico proposto por Mann e Whitney (1947), o qual está descrito em detalhes em Naghettini e Pinto (2007, p. 265).

A estacionariedade de uma série, de um ponto de vista intuitivo, está associada a não alteração das características estatísticas ao longo do tempo o que significa a não existência de tendências, saltos e outras propriedades. Nos trabalhos da Regionalização a verificação da estacionariedade das séries é efetuada pelo teste não-paramétrico de Spearman, o qual encontra-se descrito em Naghettini e Pinto (2007, p. 267).

Estimar a distribuição empírica.

A estimativa da distribuição empírica é realizada com ordenação decrescente da série e o cálculo da posição de plotagem pela fórmula de Weibull, ou seja, no caso de séries de máximos por ano hidrológico ou civil temos P(P > p) = m/(N+1), onde m é número de ordem e N o tamanho de amostra.

 Definir as distribuições teóricas de probabilidades candidatas a modelagem das vazões ou cotas máximas por ano hidrológico ou civil.

A definição da distribuição teórica de probabilidade é de suma importância, pois valores calculados para um mesmo período de retorno podem apresentar grandes variações quando estimados por diferentes distribuições. Nos estudos de análise de frequência local de máximos por ano hidrológico ou civil do projeto de Regionalização são adotadas as distribuições candidatas de 02 parâmetros conforme recomendação de Hosking e Wallis (1997). As distribuições candidatas são as distribuições de Gumbel e Log-Normal.

Calcular os parâmetros das distribuições teóricas de probabilidades candidatas.

A estimativa dos parâmetros das distribuições candidatas é efetuada pelo método dos momentos-L (Hosking; Wallis, 1997). O Anexo II apresenta as funções densidade e acumulada de probabilidades das distribuições candidatas e as equações para cálculo dos parâmetros.

 Definir a distribuição teórica que será adotada na modelagem das séries a partir da verificação da aderência à distribuição empírica.

A aderência da distribuição teórica candidata à curva da distribuição empírica é verificada pelo teste de Kolmogorov-Smirnov. A descrição detalhada destes testes é encontrada em Naghettini e Pinto (2007, p. 275-278).

Estimar os quantis associados a diferentes tempos de retorno.

Após a conclusão das etapas anteriores, calcular os quantis associados a diferentes tempos de retorno de interesse.

2.2 - Definição das Cotas para Instalação de Equipamentos Automáticos na Rede Hidrometeorológica Nacional de Referência

Segundo o relatório Maranhão e Pereira (2017), a implantação da Rede Hidrometeorológica Nacional de Referência (RHNR) buscará atender os interesses da União agrupados em 6 (seis) objetivos gerais. A Tabela 01 apresenta estes objetivos.

Tabela 01 – Objetivos Gerais da RHNR

Ν°	Objetivos Gerais
1	Transferências e Compartilhamentos Interestaduais e Internacionais
2	Eventos Hidrológicos Críticos
3	Balanços e disponibilidades hídricas
4	Mudanças e tendências de longo prazo
5	Qualidade da água
6	Regulação dos Recursos Hídricos

Fonte: elaborado pelos autores.

A locação e instalação de uma estação fluviométrica que comporá uma rede deverá atender vários critérios como os descritos em Maranhão e Pereira (2017), World Meteorological Organization (2010), Sauer e Turnipseed (2010), ANA e SGB (2021), Kenney (2010) e Rantz et al. (1982). Em relação a instalação de equipamentos automáticos na Rede Hidrometeorológica Nacional de Referência (RHNR) o relatório da Maranhão e Pereira (2017), apresenta os seguintes critérios em relação ao posicionamento dos equipamentos:

Página 27 do arquivo PDF

"...A cota máxima é importante para a posição ideal da PCD, das referências de níveis - RNs e das quantidades de lances de réguas a serem instaladas na futura estação. ..."

Página 33 do arquivo PDF

"...73. Sobre o abrigo da PCD.

Deve estar localizada acima do nível de cheia; ..."

Além de Maranhão e Pereira (2017), destacam-se World Meteorological Organization (2010) e Sauer e Turnipseed (2010) como referências que tratam sobre este tema de locação de estação fluviométrica e posicionamento de equipamentos.

World Meteorological Organization (2010) sugere os seguintes critérios para posicionamento de equipamentos em uma estação fluviométrica: "...

• Os instrumentos, abrigo e outra edificação devem estar acima de todos os níveis de inundação registrados. Sensores de nível devem permitir tanto a medição de inundações como de secas. ..."

Em relação aos níveis altos da água (cotas altas), World Meteorological Organization (2010), além do item acima, também afirma que "...devem ser pesquisadas as marcas de cheia de grandes enchentes do passado, bem como indagado aos moradores locais sobre os níveis de enchentes históricas. Essas informações deverão ser utilizadas pelo engenheiro para tomar uma decisão sobre a elevação na qual o

registrador de níveis (cotas) deve ser instalado para ficar acima de quaisquer enchentes que provavelmente ocorrerão no futuro. O abrigo do registrador deve ser instalado de forma a ser protegido de detritos transportados durante grandes enchentes. Também devem ser pesquisadas evidências sobre grandes mudanças no curso d'água, incluindo erosão e deposição nas margens que ocorreram durante enchentes notáveis do passado. Essas evidências, se encontradas, dão alguma indicação de mudanças que podem ser esperadas na ocorrência de grandes enchentes do futuro..." (Tradução nossa).

Sauer e Turnipseed (2010) sugerem vários critérios para a escolha do local de instalação uma nova estação fluviométrica que fará parte da *USGS National Streamflow Information System (NSIP)*. Em relação ao posicionamento de equipamentos faz as seguintes menções: "...

- O poço tranquilizador, por exemplo o tubulão do linígrafo (se usado), e o abrigo
 do instrumento registrador dos níveis dá água (cotas) podem estar localizados
 em uma margem do curso d'água, ponte, represa ou outra estrutura adequada,
 desde que os outros critérios de seleção do local sejam atendidos. <u>Não instale</u>
 a estrutura que abrigará os equipamentos registradores de nível (cota)
 onde ela possa sofrer danos durante enchentes.
- ..
- O abrigo de instrumentos deve ser instalado em uma cota alta o suficiente para estar acima do nível de inundação de 0,5% de excedência (200 anos), se possível. ..."

Analisando as recomendações de World Meteorological Organization (2010), Sauer e Turnipseed (2010) e Maranhão e Pereira (2017) fica claro a preocupação com o posicionamento dos equipamentos de forma a garantir a medição dos níveis (cotas) dos grandes eventos de cheias. Sauer e Turnipseed (2010) se diferenciam de World Meteorological Organization (2010) e Maranhão e Pereira (2017) ao definir que os equipamentos devem ser instalados, se possível, em uma cota alta o suficiente para estar acima do nível de inundação de 0,5% de excedência (200 anos), ou seja, um critério objetivo.

Ao se adotar um tempo de retorno, T, como referência na definição do nível mínimo para instalação dos equipamentos também se assume uma probabilidade de que pelo menos um evento igual ou superior a cheia de T anos possa ocorrer em n anos de vida útil. Essa probabilidade é o risco hidrológico, $R = 1 - [1-(1/T)]^n$. No caso de uma estação fluviométrica, a vida útil é número de anos de operação. A Tabela 02 apresenta os riscos hidrológicos associados aos tempos de retorno de 100, 200 e 250 anos para diferentes vidas uteis.

Tabela 02 – Riscos Hidrológicos

Т		"Vida Útil ", <u>n</u> anos de operação da estação fluviométrica											
(anos)	20	30	50	69	100	100 138		200	250				
100	18,2%	26,0%	39,5%	50,0%	63,4%	75,0%	82,4%	86,6%	91,9%				
200	9,5%	14,0%	22,2%	29,2%	39,4%	49,9%	58,0%	63,3%	71,4%				
250	7,7%	11,3%	18,2%	24,2%	33,0%	42,5%	50,0%	55,1%	63,3%				

Fonte: elaborado pelos autores.

Quando o risco hidrológico supera 50%, a probabilidade de ocorrer pelo menos um evento igual ou superior a cheia de T anos em *n* anos de vida útil é maior que a probabilidade de não ocorrer pelo menos uma vez tal evento. Observa-se na Tabela 02, que o risco hidrológico para eventos de 100 anos de tempo de retorno passa a ser superior a 50% quando a vida útil é maior que 69 anos. No caso de eventos de 200 anos de tempo de retorno, o risco hidrológico será maior que 50% quando a vida útil superar 138 anos e, 173 anos no caso de tempo de retorno de 250 anos.

De forma inversa, a Tabela 03 apresenta as probabilidades de não ocorrer ao menos um evento igual ou superior a cheia de T anos em *n* anos de vida útil.

Tabela 03 – Probabilidade de não ocorrer ao menos um evento igual ou superior a cheia de T anos em *n* anos de vida útil

Т	"Vida Útil ", <u>n</u> anos de operação da estação fluviométrica											
(anos)	20	30	50	69	100	138	173	200	250			
100	81,8%	74,0%	60,5%	50,0%	36,6%	25,0%	17,6%	13,4%	8,1%			
200	90,5%	86,0%	77,8%	70,8%	60,6%	50,1%	42,0%	36,7%	28,6%			
250	92,3%	88,7%	81,8%	75,8%	67,0%	57,5%	50,0%	44,9%	36,7%			

Fonte: elaborado pelos autores.

Baseando-se nas recomendações de World Meteorological Organization (2010), Sauer e Turnipseed (2010) e Maranhão e Pereira (2017), considerando os objetivos gerais da RHN, bem como, a ocorrência das grandes cheias no Brasil, como por exemplo as enchentes de 2010 no rio Mundaú e em maio de 2024 no Rio Grande do Sul e com o objetivo de garantir a medição dos níveis (cotas) dos grandes eventos de cheias que podem ocorrer no futuro, sugere-se os critérios apresentados na Tabela 04 para definição da cota mínima para instalação dos equipamentos da Rede Hidrometeorológica Nacional de Referência (RHNR).

Tabela 04 – Critérios para instalação dos equipamentos da RHNR

Objetivos gerais	CRITÉRIO – Considerando o objetivo da estação fluviométrica, instalar os equipamentos de registro de níveis na maior cota entre as opções.
Transferências e Compartilhamentos Interestaduais e Internacionais ¹	A cota associada a cheia de 200 anos de tempo de retorno, ou a cota da maior cheia registrada acrescida de 1,0m (um metro)
Eventos Hidrológicos Críticos²	A cota associada a cheia de 250 anos de tempo de retorno, ou a cota da maior cheia registrada acrescida de 1,0m (um metro)
Balanços e disponibilidades hídricas ³	A cota associada a cheia de 100 anos de tempo de retorno, ou a cota da maior cheia registrada acrescida de 1,0m (um metro)
Mudanças e tendências de longo prazo ¹	A cota associada a cheia de 200 anos de tempo de retorno, ou a cota da maior cheia registrada acrescida de 1,0m (um metro)
Qualidade da água ¹	A cota associada a cheia de 200 anos de tempo de retorno, ou a cota da maior cheia registrada acrescida de 1,0m (um metro)
Regulação dos Recursos Hídricos³	A cota associada a cheia de 100 anos de tempo de retorno, ou a cota da maior cheia registrada acrescida de 1,0m (um metro)

¹⁻O registro de grandes cheias é importante para garantir o atendimento dos objetivos, bem como, preservar os equipamentos caros dos efeitos deletérios da passagem de uma enchente.

2-Os eventos críticos da bacia do rio Mundaú em 2010 e de maio de 2024 no Rio Grande do Sul ensinaram a importância de não se perder os equipamentos na passagem de eventos raros.

3-O atendimento dos objetivos não será significativamente prejudicado se houver a perda do registro da passagem de eventos de grandes cheias.

Fonte: elaborado pelos autores.

3 - RESULTADOS

3.1 - Análise de Frequência Local

A análise de frequência local das vazões do rio Piranhas-Açu em Jucurutu, código 37604000, foi efetuada utilizando a série de vazões máximas por ano hidrológico (01/Jan a 31/Dez) apresentadas no Anexo III. As duas distribuições de frequências candidatas, Gumbel e Log-Normal, não foram rejeitadas pelo teste de aderência. Contudo a distribuição Log-Normal foi selecionada por apresentar menor desvio padrão dos resíduos entre a distribuição empírica e a teórica. Seus parâmetros calculados pelo método dos momentos-L se apresentam no Anexo III. A Figura 04 apresenta o gráfico com as distribuições empírica e teórica ajustadas.

A inversa da distribuição Log-Normal é a calculada da seguinte forma:

$$x_T = EXP(\mu + \sigma. Z_{(1-1/T)}) \tag{01}$$

Onde:

T é o tempo de retorno (anos)

 x_T é o quantil associado a tempo de retorno, T

 $Z_{(1-1/T)}$ é o valor da variável normal padrão associada a probabilidade (1 – 1/T). Pode ser obtida em tabelas ou empregando métodos numéricos para inverter $\Phi(x)$ apresentada no Anexo II.

 μ é o parâmetro de posição (5,9638)

 σ é o parâmetro de escala (1,1756)

Papel Log-Normal

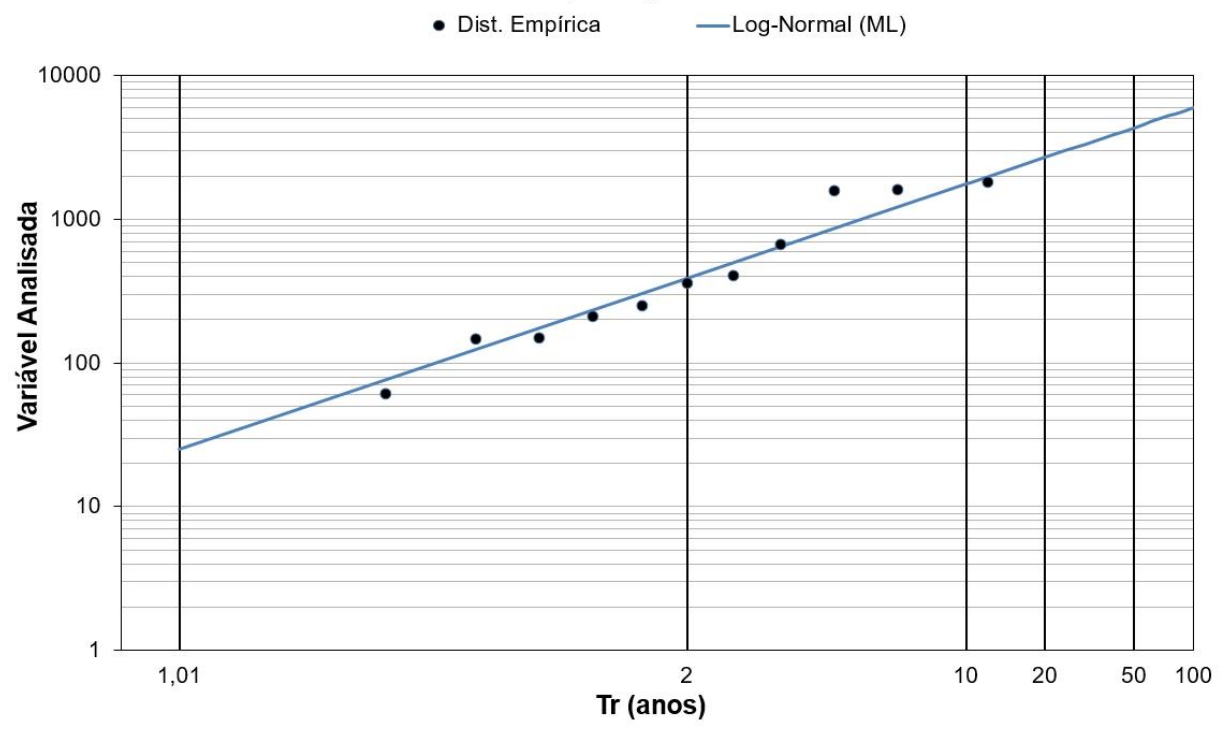


Figura 04 – Ajuste das distribuições empírica e teórica. Fonte: elaborado pelos autores.

A equação 01 permite o cálculo das vazões associadas a diferentes tempos de retorno. A Tabela 05 apresenta as vazões associadas a diferentes tempos de retorno.

Tabela 05 – Vazões associadas a diferentes tempos de retorno.

		Tempo de Retorno, T (anos)										
	10	15	20	25	30	50	75	90	100	150	200	250
Vazões (m³/s)	1755	2272	2690	3047	3360	4351	5268	5721	5995	7137	8038	8792

Fonte: elaborado pelos autores.

3.2 – Definição das Cotas para Instalação de Equipamentos Automáticos na Rede Hidrometeorológica Nacional de Referência

Após o cálculo das vazões associadas a diferentes tempos de retorno é possível estimar as respectivas cotas invertendo a curva chave da estação fluviométrica.

As vazões da série histórica foram calculadas com a equação da curva-chave de formato potencial como apresentada no Anexo III.

$$Q(h) = a (h - ho)^n$$
(AIII-01)

Onde:

h é a cota a qual se quer calcular a vazão (m); Q(h) é a vazão calculada para a cota h (m³/s); a, n e ho são parâmetros de ajustes.

A inversa da equação da curva chave é a seguinte:

$$h = \left(\frac{Q}{a}\right)^{1/n} + ho\tag{02}$$

Os parâmetros das curvas chave de diferentes períodos e amplitudes de cotas encontram-se no Anexo III.

Os critérios para definição das cotas mínimas de instalação dos equipamentos da RHNR, dependendo do objetivo da estação fluviométrica, estão apresentados na Tabela 04. Um critério comum a todos os objetivos das estações fluviométricas é "a cota da maior cheia registrada acrescida de 1,0 m (um metro)".

A cota máxima observada na estação de Jucurutu, código 37604000, foi de 638 cm. A vazão associada a esta cota é de 1795 m³/s como calculado no item 4-Exemplos de Aplicação.

Os outros critérios apresentados na Tabela 04 são as cotas associadas as cheias de 100, 200 e 250 anos de tempo de retorno. Estas vazões foram calculadas como ilustrado no item 4-Exemplos de Aplicação e os valores constam da Tabela 05. O cálculo

das cotas associadas a estas vazões é realizado empregando a equação (02) e adotando os parâmetros da curva chave mais recente apresentados no Anexo III.

Analisando o Anexo III observa-se que a curva chave mais recente tem período de validade de 23/05/2022 a 31/12/2022 e o ramo superior da curva chave tem uma amplitude de cotas de 100 a 650 cm. As estimativas de vazões associadas as cotas superiores a 650 cm foram realizadas estendo o ramo superior da curva chave até a cota de interesse. Dessa forma foi possível a estimativa das cotas associadas as vazões de 100, 200 e 250 anos de tempo de retorno uma vez que estas cotas são maiores que o limite superior de validade da curva chave.

A Tabela 06 resume os critérios de definição da cota mínima para instalação dos equipamentos da estação de Jucurutu, código 37604000.

Tabela 06 – Cotas para instalação dos equipamentos da estação fluviométrica

CRITÉRIO	Q (m³/s)	Cota (cm)
Cota associada a cheia de 100	5995	863*
anos de tempo de retorno	3993	803
Cota associada a cheia de 200	8038	933*
anos de tempo de retorno	0030	955
Cota associada a cheia de 250	8792	956 *
anos de tempo de retorno	0/92	956
Cota da maior cheia registrada	3259*	738 cm (638 cm + 100 cm)
acrescida de 1,0m (um metro)	3239	738 cm (638 cm + 100 cm)

^{*} Estimativa a partir da extrapolação da curva chave.

Fonte: elaborado pelos autores.

A ficha descritiva da estação que se encontra no Anexo I não apresenta o objetivo ou objetivos da estação fluviométrica. Assim, admitindo que os objetivos gerais desta estação são estimar balanços e disponibilidades hídricas, como também contribuir para regulação dos recursos hídricos, a cota de instalação dos equipamentos será associada a cheia de 100 anos de tempo de retorno. Sendo assim, com as informações disponíveis na elaboração deste relatório, sugere-se, para o momento, que a cota de instalação dos equipamentos seja superior a 863 cm. A Figura 05 ilustra o posicionamento dos equipamentos na seção de réguas da estação.

A Figura 05 apresenta o perfil da seção transversal de régua levantada em 2019 com cota máxima de 814 cm. Todavia, entre perfis de seção de medição levantados em anos anteriores a cota máxima foi de 968 cm em 2015. Assim recomenda-se que os perfis anuais de régua sejam levantados em cotas superiores à tais cotas nas duas margens, pois auxiliará na extrapolação do ramo superior da curva chave caso ocorra cheias maiores que 638 cm ocorrida em 2018.

Além disso, mesmo com as dificuldades inerentes ao trabalho de operação de uma rede hidrometeorológica, quando houver uma oportunidade, ou seja, a ocorrência de cheias no rio Piranhas-Açu, recomenda-se uma intensificação nas medições de vazões em cotas superiores a 353 cm para melhorar a extrapolação do ramo superior da curva chave.

Como indicado no relatório Maranhão e Pereira (2017), também se sugere que seja incluído na ficha descritiva os objetivos da estação fluviométrica de Jucurutu, código 37604000.

37604000 - JUCURUTU em JUCURUTU - RN Seção Transversal - Seção de Réguas

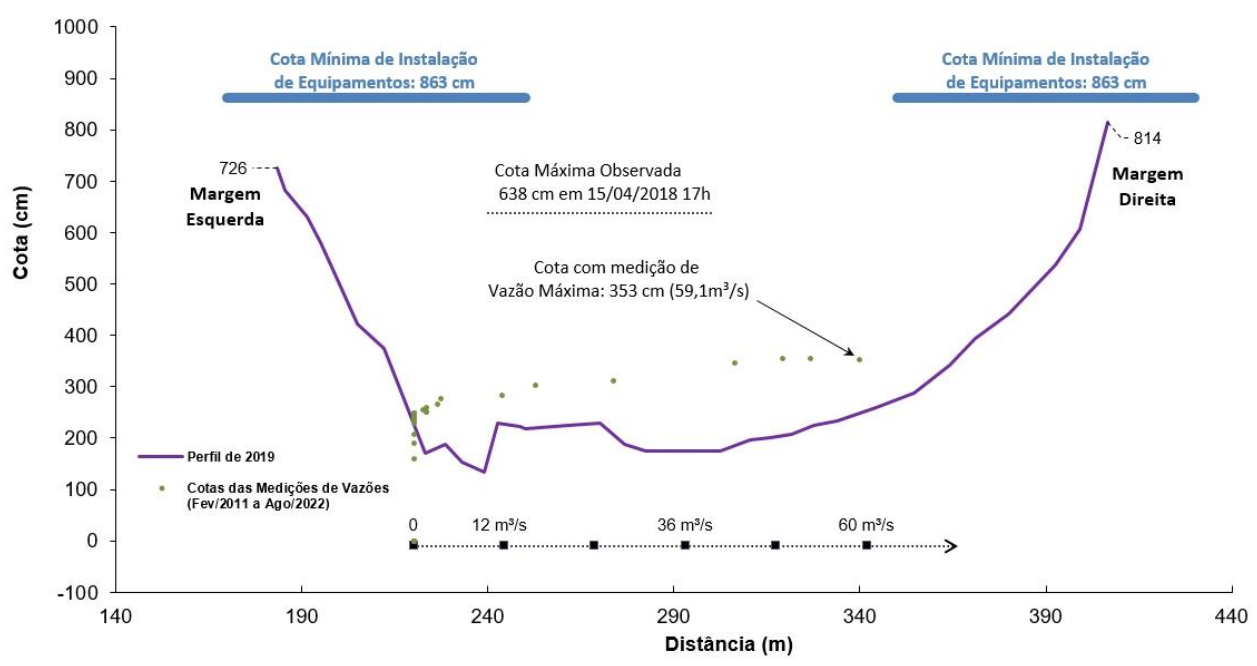


Figura 05 – Cota mínima de instalação de equipamentos. Fonte: elaborado pelos autores.

4 - EXEMPLOS DE APLICAÇÃO

a) O rio Piranhas-Açu em Jucurutu, código 37604000, alcançou a cota de 638 cm durante a cheia em 15/04/2018. Qual é o tempo de retorno da vazão associada a esta cota?

Resp: Inicialmente, será necessário calcular a vazão associada à cota de 504 cm com a curva-chave válida para a data de 15/04/2018 utilizando a equação AIII-01(Anexo III) com amplitude de cotas de 432 a 600 cm.

Para a cota 638 cm os parâmetros são a = 29,2898, ho = 2,23 m e n= 2,892 (Anexo III). Dessa forma temos:

$$Q(h) = a (h - ho)^n$$

$$Q(638cm) = 29,2898 (638/100 - 2,23)^{2,892}$$

$$Q(638cm) = 1795 m^3/s$$

Numa segunda etapa, para se calcular o tempo de retorno será necessário estimar a variável Normal Padrão da equação 01. Dessa forma temos:

$$Z_{(1-1/T)} = \frac{(\ln(x_T) - \mu)}{\sigma} \tag{02}$$

A vazão calculada foi de 1795 m³/s, o parâmetro de posição é $\mu = 5,9638$, e o de escala é $\sigma = 1,1756$. Substituindo os valores na equação 02 temos:

$$Z_{(1-1/T)} = \frac{(ln(x_T) - \mu)}{\sigma} = \frac{(ln(1795) - 5,9638)}{1.1756} = 1,30069$$

Levando o valor 1,30069 em uma tabela de inversa da distribuição Normal Padrão ou executando a função DIST.NORMP.N do Excel obtém-se: $P(Z \le 1,30069) = 0,90332$.

O tempo de retorno será:

$$T = \frac{1}{1 - P(Z \le z)} = \frac{1}{1 - 0.90332} = 10.34 \ anos$$

O tempo de retorno de 10,34 anos corresponde à probabilidade de 9,67% da vazão 1795 m³/s (associada à cota 638 cm) ser igualada ou superada em um ano qualquer, ou

$$P(x_T \ge 1795 \text{ m}^3/\text{s}) = \frac{1}{T}100 = \frac{1}{10.34}100 = 9,67 \%$$

b) Qual é o tempo de retorno da vazão associada à cota registrada com medição da maior vazão em Jucurutu, código 37604000?

Resp: A cota registrada com medição da maior vazão em Jucurutu, código 37604000, é 353 cm / 59,1 m^3 /s (22/04/2022). Considerando a curva-chave desta data e substituindo esta cota na equação AIII-01 (Anexo III), obtém-se a vazão de 62,6 m^3 /s (Ramo 01). Com a vazão calculada e os parâmetros da distribuição de Log-Normal a partir da equação 02 se obtém $Z_{(1-1/T)}$ e por consequência $P(Z \le z)$. Por fim, como no primeiro exemplo, temos que o tempo de retorno da vazão associada à cota de 353 cm é de 1,06 anos. A probabilidade da vazão associada à cota de alerta ser igualada ou superada em um ano qualquer é de 94,00%.

c) Qual a vazão com tempo de retorno de 100 anos em Jucurutu, código 37604000?

Resp: Considerando os parâmetros de posição e de escala da curva de distribuição obtida no estudo (Log-Normal), calcula-se a inversa da distribuição Normal Padrão para T=100 anos (INV.NORMP do Excel), obtendo-se $Z_{(1-1/T=0.99)}=2,32635$. Aplicando a equação (01) obtém-se a vazão de 5995 m³/s.

$$x_T = EXP(5,9638 + 1,1756.2,32635) = 5995 m^3/s$$

O tempo de retorno de 100 anos corresponde à probabilidade de 1,0% da vazão 5995 m³/s ser igualada ou superada em um ano qualquer, ou

$$P(x_T \ge 5995 \ m^3/s) = \frac{1}{T}100 = \frac{1}{100}100 = 1 \%$$

REFERÊNCIAS

AGÊNCIA NACIONAL DE ÁGUAS (Brasil); SERVIÇO GEOLÓGICO DO BRASIL. Levantamentos topobatimétricos e geodésicos aplicados na Rede Hidrometeorológica Nacional (RHN). Brasília, DF: ANA: CPRM, 2021. Disponível em: https://rigeo.sgb.gov.br/handle/doc/22628 . Acesso em: 9 out. 2024.

HOSKING, J. R. M.; WALLIS, J. R. **Regional frequency analysis**: an approach based on L-moments. Cambridge: Cambridge University Press, 1997.

KENNEY, T. A. **Levels at gaging stations**: section A, Surface-Water Techniques. [*S.l.*]: U.S. Geological Survey, 2010. cap. 3., 60 p. (Techniques and Methods 3 – A19). Disponível em: https://pubs.usgs.gov/tm/tm3A19/tm3A19.pdf. Acesso em: 9 out. 2024.

MANN, H. B.; WHITNEY, D. R. On the test of whether one of two random variables is stochastically larger than the other. **Annals of Mathematical Statistics**, v. 18, n. 1, p. 50-60, 1947.

MARANHÃO, N.; PEREIRA, S. P. (coord.). **Rede Hidrometeorológica Nacional de Referência – RHNR**: relato do planejamento da RHNR e a definição das estratégias de implementação para os próximos anos (5 anos). [Brasília]: [CPRM: ANA], 2017. Grupo de Trabalho ANA-CPRM. Portaria ANA n. 151, de 31 de março de 2016. Disponível em: https://rigeo.sgb.gov.br/handle/doc/22172. Acesso em: 9 out. 2024.

NAGHETTINI, M.; PINTO, E. J. A. **Hidrologia estatística**. Belo Horizonte: CPRM, 2007. Disponível em: https://rigeo.sgb.gov.br/handle/doc/454. Acesso em: 9 out. 2024.

PINTO, E. J. de A. **Atlas pluviométrico do Brasil**: metodologia para definição das equações intensidade-duração-frequência do Projeto Atlas Pluviométrico. Belo Horizonte: CPRM, 2013. Programa Geologia do Brasil. Levantamento da Geodiversidade. Disponível em: https://rigeo.sgb.gov.br/handle/doc/11560. Acesso em: 9 out. 2024.

RANTZ, S. E. *et al.* **Measurement and computation of streamflow**: volume 2. Computation of discharge. Washington: USGS, 1982. v. 2, 631 p. (Geological Survey Water-Supply Paper 2175). Disponível em: https://pubs.usgs.gov/wsp/wsp2175/wsp2175_vol2.pdf. Acesso em: 9 out. 2024.

SAUER, V. B.; TURNIPSEED, D. P. **Stage measurement at gaging stations**. Reston, Virginia: U.S. Geological Survey, 2010. cap. 3, 45 p. (Techniques and Methods 3–A7). Disponível em: https://pubs.usgs.gov/tm/tm3-a7/tm3a7.pdf. Acesso em: 9 out. 2024.

TUCCI, C. E. M. Regionalização de vazões. Brasília: ABRH, 2002. 256 p.

WALD, A.; WOLFOWITZ, J. An exact test for randomness in the non-parametric case based on serial correlation. **Annals of Mathematical Statistics**, v. 14, n. 4, p. 378-388,

1943. DOI: 10.1214/aoms/1177731358. Disponível em: https://projecteuclid.org/journals/annals-of-mathematical-statistics/volume-14/issue-4/An-Exact-Test-for-Randomness-in-the-Non-Parametric-Case/10.1214/aoms/1177731358.short. Acesso em: 9 out. 2024.

WORLD METEOROLOGICAL ORGANIZATION. **Manual on stream gauging**. Geneva: WMO, 2010. v. 1. (Fieldwork WMO-No. 1044). Disponível em: https://library.wmo.int/idurl/4/35848. Acesso em: 9 out. 2024.

ANEXO I

Ficha Descritiva

Estação Fluviométrica de Jucurutu, código 37604000



FICHA DESCRITIVA DE ESTAÇÃO FLUVIOMÉTRICA



2



Identificação

 Código:
 37604000
 Estação:
 Jucurutu
 Tipo:
 FDSQT

 Região hidrográfica:
 Atlântico Trecho Norte/Nordeste
 Sub-bacia:
 37

Rio: Rio Piranhas ou Açú Bacia local: Piranhas

Município: Jucurutu Estado: RN Roteiro: Latitude: -6.0680 Longitude: -37.0573 Altitude (m):

Instrumento: GPS Datum: WGS 84

Área de dren. (km²): 34300 Instalada em: 27/10/2009 Extinta em:

Coordenador: ANA Operador: CPRM/SUREG RE

Código da folha: 1256 Nome da folha: CAICÓ

Orgão executor: SUDENE Ano: 1982 Escala: 1:100.000

Localização

Na margem direita do rio, próximo ao bar desativado, na propriedade onde encontra-se instalada a PCD HOBECO do projeto do São Francisco (PISF).(RHNR)

Acessibilidade

Da cidade Jucurutu/RN, sentido a cidade Caicó/RN, percorre-se cerca de 4kmaté uma parada de ônibus, em frente há uma fazenda, entrar a direita, daí aproximadamente 400m até a porteira, que dá acesso à PCD e a seção de réguas. Ao lado direito da via que cruza o rio.

Altitudes Ortométricas

Seção de réguas

Margem: Margem direita

Réguas:

8 réguas de alumínio graduadas em centímetro e fixadas em suporte de madeira. Lances :100/200, 200/300, 300/400, 400/500, 500/600, 600/700, 700/800, 800/900 cm.

 Equipe:
 Data: 18/11/2024

 Estação:
 Jucurutu
 Código: 37604000







SECRETARIA DE GEOLOGIA, MINERAÇÃO E TRANSFORMAÇÃO MINERAL

MINISTÉRIO DE MINAS E ENERGIA GOVERNO FEDERAL



FICHA DESCRITIVA DE ESTAÇÃO FLUVIOMÉTRICA





Referências de nível

RN 01: 9495 mm - Parafuso chumbado em bloco rochoso a 25,0 metros do lance 500/600. RN 02: 10040 mm - Parafuso chumbado em bloco rochoso próximo ao lance 500/600.

RN 03: - Parafuso chumbado em bloco de concreto, próximo ao lance 800/900 cerca de 15m.

Seções e processos de medição

Dist da seção de réguas 15,0m. Distância PI/PF 350m.

Processo de medição: Vau/Barco

Potamografia

O Rio Piranhas nasce no Município de Bonito de Santa Fé, Estado da Paraíba, nas proximidades da Serra da Mata Fresca, numa altitude aproximada de 600,0 m. Seus principais afluentes são os Rios Piancó e Seridó, pela margem direita, e o Rio Peixe, pela margem esquerda.

Caracte	eristicas	an	trecho

Regime: Perene Conformação: Retilínea Fundo: Regular

Posição em relação à rede

Montante: Jusante:

Natureza e inclinação das margens

Esquerda: Baixa Arenosa Sem Vegetação Direita: Baixa Arenosa Sem Vegetação

Leito

Natureza: Arenosa Sem Vegetação

Controle

Controle: Canal Localização: Distância

 Equipe:
 Data:
 18/11/2024

 Estação:
 Jucurutu
 Código:
 37604000

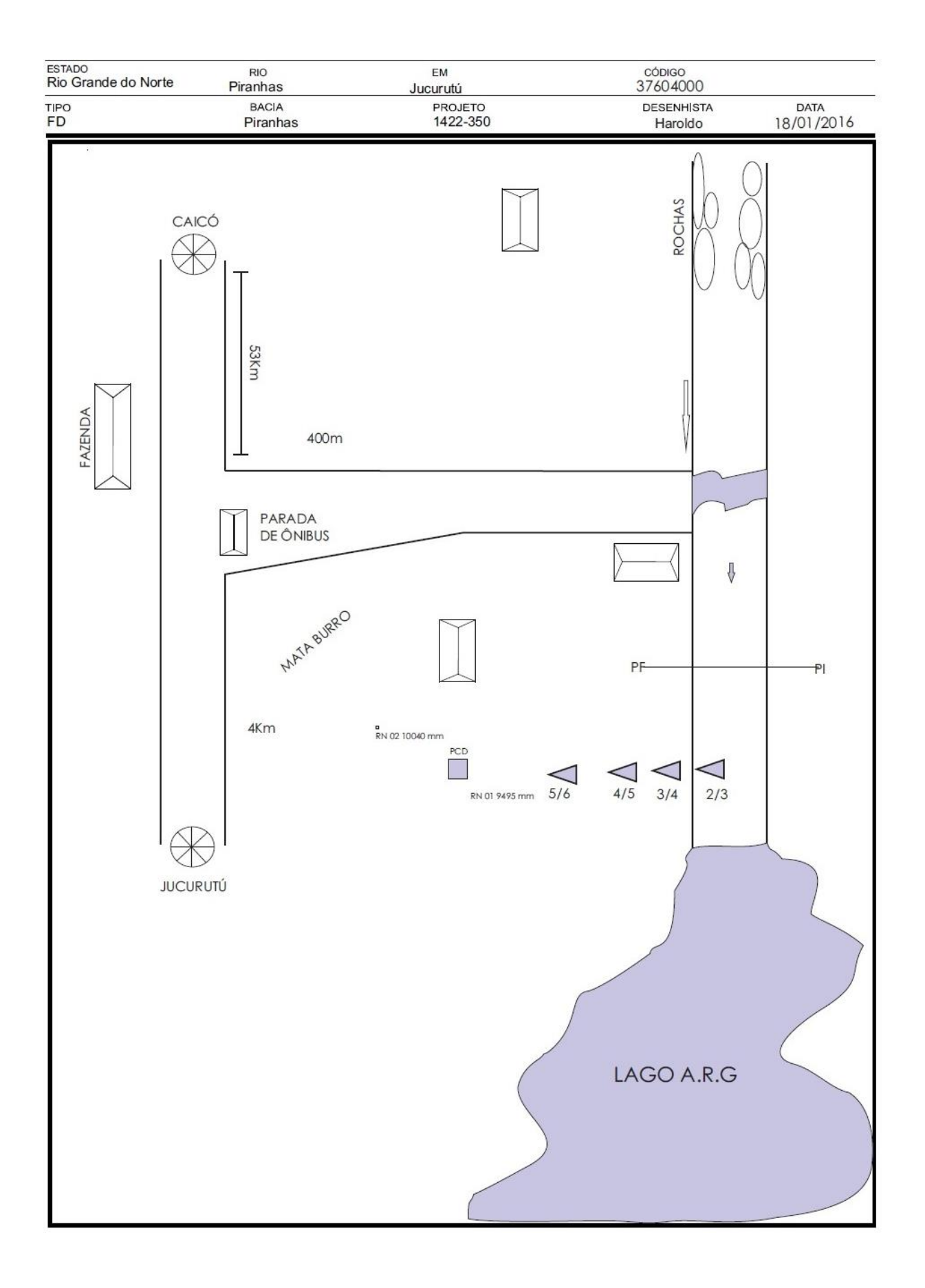






SECRETARIA DE GEOLOGIA, MINERAÇÃO E TRANSFORMAÇÃO MINERAL

MINISTÉRIO DE MINAS E ENERGIA GOVERNO FEDERAL



ANEXO II Distribuição de Gumbel e Log-Normal.

ANEXO II

DISTRIBUIÇÃO DE GUMBEL

• Função Densidade de Probabilidade

$$f_X(x) = \frac{1}{\alpha} \exp \left[-\frac{x - \beta}{\alpha} - \exp \left(-\frac{x - \beta}{\alpha} \right) \right]$$

 α = Parâmetro de escala β = Parâmetro de posição

Limites: -∞ ≤ x < ∞

• Função Acumulada de Probabilidades

$$F_X(x) = \exp\left[-\exp\left(-\frac{x-\beta}{\alpha}\right)\right]$$

• Inversa da função acumulada

$$x = \beta - \alpha \ln[-\ln(F(x))]$$

Momentos L

$$\lambda_1 = \beta + \alpha \gamma_E \qquad \lambda_2 = \alpha \ln(2) \quad \lambda_3 = \alpha \left[2 \ln(3) - 3 \ln(2) \right] \quad \lambda_4 = \alpha \left[5 \ln(4) - 10 \ln(3) + 6 \ln(2) \right]$$

$$\tau_3 = 0.1699 \qquad \tau_4 = 0.1504$$

Estimativa dos parâmetros pelos momentos-L

$$\hat{\alpha} = \frac{l_2}{\ln(2)} \qquad \hat{\beta} = \frac{l_1}{\gamma_E \alpha}$$

Onde l_1 e l_2 são os momentos-L amostrais e γ_E = 0,5572157 é a constante de Euler. Fonte: Hosking e Wallis (1997)

ANEXO II

DISTRIBUIÇÃO LOG-NORMAL

Os dados transformados pelo logaritmo natural, Ln(x), se distribuem como uma normal

DISTRIBUIÇÃO NORMAL

• Função Densidade de Probabilidade

$$f_X(x) = \frac{1}{\sigma} \phi \left(\frac{x - \mu}{\sigma} \right)$$

$$\phi(x) = \frac{1}{\sqrt{2\pi}} exp\left(-\frac{1}{2}x^2\right)$$

Parâmetros: μ é o parâmetro de posição e σ é o parâmetro de escala

Limites: -∞ ≤ x < ∞

• Função Acumulada de Probabilidades

$$F_X(x) = \Phi\left(\frac{x-\mu}{\sigma}\right)$$

$$\Phi(x) = \int_{-\infty}^{x} \phi(t)dt$$

Inversa da função acumulada

x(F) não possui forma analítica

Momentos-L

$$\lambda_1 = \mu$$
 $\lambda_2 = 0.5642\sigma = \frac{1}{\sqrt{\pi}}\sigma$ $\tau_3 = 0$ $\tau_4 = 0.1226 = \left[30\pi^{-1}arctan(\sqrt{2})\right] - 9$

• Estimativa de parâmetros pelos momentos-L

$$\hat{\mu} = \lambda_1 \qquad \qquad \hat{\sigma} = \lambda_2 \sqrt{\pi}$$

OBS: Inicialmente os dados são transformados pelo logaritmo natural, Ln(x). Em seguida são calculados os momentos-L e depois os parâmetros.

Fonte: Hosking e Wallis (1997)

ANEXO III Série de Dados Utilizados – Cotas e Vazões máximas por ano civil Curva-Chave Estatísticas da série

ANEXO III

Série de Dados Utilizados – Cotas (cm) e Vazões (m³/s) Máximos por ano hidrológico (01/Jan a 31/Dez)

N	Al	AF	Data	Hora	Cota (cm)	Vazão (m³/s)	Observações
1	2010	2010	27/04/2010	07:00	462	363,95	DL / Vazões geradas a partir da curva-chave
2	2011	2011	18/05/2011	17:00	624	1625,59	DL / Vazões geradas a partir da curva-chave
3	2012	2012	02/03/2012	17:00	358	60,38	DL / Vazões geradas a partir da curva-chave
4	2013	2013	21/04/2013	17:00	402	148,68	DL / Vazões geradas a partir da curva-chave
5	2014	2014	01/04/2014	17:00	515	675,69	DL / Vazões geradas a partir da curva-chave
6	2015	2015	27/03/2015	17:00	398	147,77	DL / Vazões geradas a partir da curva-chave
7	2016	2016	24/03/2016	17:00	420	208,12	DL / Vazões geradas a partir da curva-chave
8	2018	2018	15/04/2018	17:00	638	1795,19	DL / Vazões geradas a partir da curva-chave
9	2019	2019	02/04/2019	07:00	470	400,31	DL / Vazões geradas a partir da curva-chave
10	2020	2020	25/04/2020	17:00	620	1579,13	DL / Vazões geradas a partir da curva-chave
11	2021	2021	25/04/2021	17:00	432	246,93	DL / Vazões geradas a partir da curva-chave

DL – Dupla Leitura (07 e 17 hs) CM – Sem dados de boletim de Dupla Leitura (DL). Registro DL na estatística máxima do banco de Cotas Médias.

ANEXO III

Curva-Chave

As vazões da série histórica foram calculadas com a equação da curva-chave de formato potencial:

$$Q(h) = a (h - ho)^n$$
(AIII-01)

Onde:

h é a cota a qual se quer calcular a vazão (m); Q(h) é a vazão calculada para a cota h (m³/s); a, n e ho são parâmetros de ajustes.

Os parâmetros das curvas-chaves utilizadas no estudo e disponibilizadas pela CPRM são os seguintes:

Curvas-Chaves	Período	01/10/2009	09/10/2013	01/06/2014
Curvas-Criaves	renouo	08/10/2013	31/05/2014	17/02/2017
	Amplitude de	200	200	100
	cotas (cm)	442	500	550
Ramo 01	а	24,5699	27,7340	29,2898
	ho (m)	2,25	2,09	2,23
	n	3,153	2,855	2,892
	Amplitude de	442		
	cotas (cm)	550		
Ramo 02	а	29,2898		
	ho (m)	2,23		
	n	2,892		

Curvas-Chaves	Período	18/02/2017	06/04/2019	23/05/2022
Curvas-Criaves	renouo	05/04/2019	22/05/2022	31/12/2022
	Amplitude de	100	100	100
	cotas (cm)	432	650	650
Ramo 01	а	29,1590	29,2898	29,9590
	ho (m)	2,35	2,23	2,17
	n	3,151	2,892	2,841
	Amplitude de	432		
	cotas (cm)	600		
Ramo 02	а	29,2898		
	ho (m)	2,23		
	n	2,892		

Estatísticas da série

Estatísticas da Série

Média m³/s	Desvio- Padrão m³/s	Máximo m³/s	Mínimo m³/s	Amplitude m³/s	Assimetria	Mediana m³/s	1º Quartil m³/s	3º Quartil m³/s	AIQ m³/s
659,3	669,3	1795,2	60,4	1734,8	1,0	364,0	178,4	1127,4	949,0

Estatísticas da série transformada: Ln(X)

Média	Desvio- Padrão	Máximo	Mínimo	Amplitude	Assimetria	Mediana	1º Quartil	3º Quartil	AIQ
5,96377	1,12191	7,49287	4,10069	3,39218	0,07029	5,89702	5,16997	6,94018	1,77022

Momentos-L e Razões-L

l_1	l_2	L-CV	L-SKEW	L-KURT
659,2500	363,0035	0,5506	0,3669	-0,0100

Momentos-L e Razões-L da série transformada: Ln(X)

l_1 l_2		L-CV L-SKEW		L-KURT	
5,9638	0,6633	0,1112	0,0207	0,0071	

Função Acumulada de Probabilidade da Log-Normal para Máximos (μ e σ são parâmetros da distribuição Log-Normal)

$$F_X(x) = \Phi\left(\frac{x-\mu}{\sigma}\right)$$
, onde $\Phi(x) = \int_{-\infty}^x \phi(t)dt$

Inversa da distribuição Log-Normal: x(F) não possui forma analítica

Parâmetros da Distribuição Log-Normal Fonte: Hosking e Wallis (1997), págs. 193 e 194

 $Momentos - L: \ \lambda_1 = \mu \qquad \lambda_2 = 0,5642 \ \ \sigma = \frac{1}{\sqrt{\pi}} \sigma \qquad Parâmetros: \ \hat{\mu} = \lambda_1 \ \ e \qquad \hat{\sigma} = \lambda_2 \sqrt{\pi}$

Distribuição	Posição (μ)	Escala (σ)
Log-Normal (μ, σ)	5,9638	1,1756



Projeto de regionalização de vazões nas bacias hidrográficas brasileiras

ENDEREÇOS

Sede

SGAN- Quadra 603 – Conjunto J – Parte A – 1° andar

Brasília – DF – CEP: 70.830-030 Tel: 61 2192-8252

Fax: 61 3224-1616

Escritório Rio de Janeiro

Av Pasteur, 404 – Urca

Rio de Janeiro – RJ – CEP: 22.290-255

Tel: 21 2295-5337 - 21 2295-5382

Fax: 21 2542-3647

Superintendência Regional de Recife

Avenida Sul, 2291, Afogados

Recife - PE - Brasil - CEP: 50770-011

Tel.: 81 3316-1400 Fax: 81 3316-1403

Superintendência Regional de Belo Horizonte

Av. Brasil, 1.731 – Funcionários

Belo Horizonte - MG - CEP: 30.140-002

Tel.: 31 3878-0376 Fax: 31 3878-0383





